

## FILOGENIA DAS ESPÉCIES DE *XENYLLA* À ESCALA MUNDIAL (*INSECTA, COLLEMBOLA*)

MARIA MANUELA DA GAMA\*

Museu e Laboratório Zoológico da Universidade de Coimbra. Coimbra, Portugal

### SUMMARY

One genealogical tree of the *Xenylla* species from all the continents and the corresponding table of derived non-adaptive characters is presented. The most significant adaptive derived characters are shown on the clades.

### INTRODUÇÃO

Atualmente conhecemos setenta e cinco espécies e subespécies do género *Xenylla*, repartidas pelos cinco continentes, das quais estudámos os caracteres não-adaptativos e adaptativos. Existem ainda umas trinta espécies descritas deste género, mas que são incompletamente conhecidas no que respeita a estes dois tipos de caracteres.

O estudo filogenético que apresentamos, na sequência de outros trabalhos publicados (Gama, 1969, 1971 e 1980) limita-se às espécies que conhecemos. Ele é baseado essencialmente na interpretação do significado evolutivo dos caracteres da quetotaxia, que nos permitiram construir a árvore genealógica (fig. 3), mas também nalguns caracteres adaptativos da estrutura dos mucrodentes, do tenaculum e do número de olhos das espécies mencionadas acima.

Tomámos ainda em conta as interessantes descobertas feitas por Fjellberg (1984) relativas à estrutura do lobo externo maxilar de algumas espécies, cujo número de pêlos sublobais parece ter valor filogenético.

---

\* Este artigo constituiu, na sua maior parte, objecto de uma comunicação apresentada, em francês, ao "VI International Colloquium on Apterygota", realizado em Moscovo em Agosto de 1985. Como, passados cerca de dois anos, não consegui ser informada pelos organizadores do Colóquio acerca da sua publicação, que acaba de se efectuar nos "Proceedings of the 9th International Colloquium on Soil Zoology", decidi submeter o artigo, em português, com alguns aditamentos e modificações, à "Evolución Biológica".

## MATERIAIS E MÉTODOS

Aplicámos o método da "Sistemática ideal" (Gisin, 1967, 1967a, Gama, 1969, 1971, 1980, 1984) às 75 espécies e subespécies de *Xenylla* estudadas.

Assim, condensámos no quadro I os caracteres não-adaptativos derivados da quetotaxia dorsal e da quetotaxia ventral de cada espécie e subespécie, cujo número revela o seu índice de evolução cladogenética, que vem indicado na última coluna do quadro. Atribuímos a cada carácter uma letra do alfabeto, cujo significado é o seguinte:

*Quetotaxia dorsal (fig. 1):*

- a =  $a_0$  da cabeça ausente
- b =  $p_1$  da cabeça ausente
- c =  $p_2$  da cabeça ausente
- d =  $p_3$  da cabeça ausente
- e =  $d_1$  da cabeça ausente
- f =  $L_1$  da cabeça mais comprida que  $L_3$
- g =  $L_3$  da cabeça mais comprida que  $L_1$
- $h_1$  =  $a_2$  do tórax III deslocado para trás em relação a  $a_1$
- $h_2$  =  $p_2$  do tórax III deslocado para a frente em relação a  $p_1$
- i =  $la_1$  dos tóraxes II - III ausente
- i' =  $la_3$  dos tóraxes II - III ausente
- j =  $la_2$  dos tóraxes II - III ausente
- k =  $m_3$  dos tóraxes II - III ausente
- l =  $p_3$  dos tórax II - III ausente
- n =  $p_3$  do abdómen IV ausente
- o =  $m_3$  do abdómen IV ausente
- q =  $a_2$  do abdómen V ausente

*Quetotaxia ventral (fig. 2):*

- r =  $p_1$  da cabeça ausente
- s =  $m_3$  da cabeça ausente
- t = o par de sedas dos tóraxes II - III ausente
- v =  $p_1$  e  $p_2$  do abdómen II ausentes
- w =  $p_6$  do abdómen II ausente
- y =  $a_6$  do abdómen II ausente
- $a_2$  =  $a_6$  do abdómen III ausente
- $a_3$  =  $p_5$  do abdómen III ausente
- $a_4$  =  $m_1$  do abdómen IV ausente
- $a_5$  =  $m_2$  do abdómen IV ausente
- $a_6$  =  $m_3$  do abdómen IV ausente

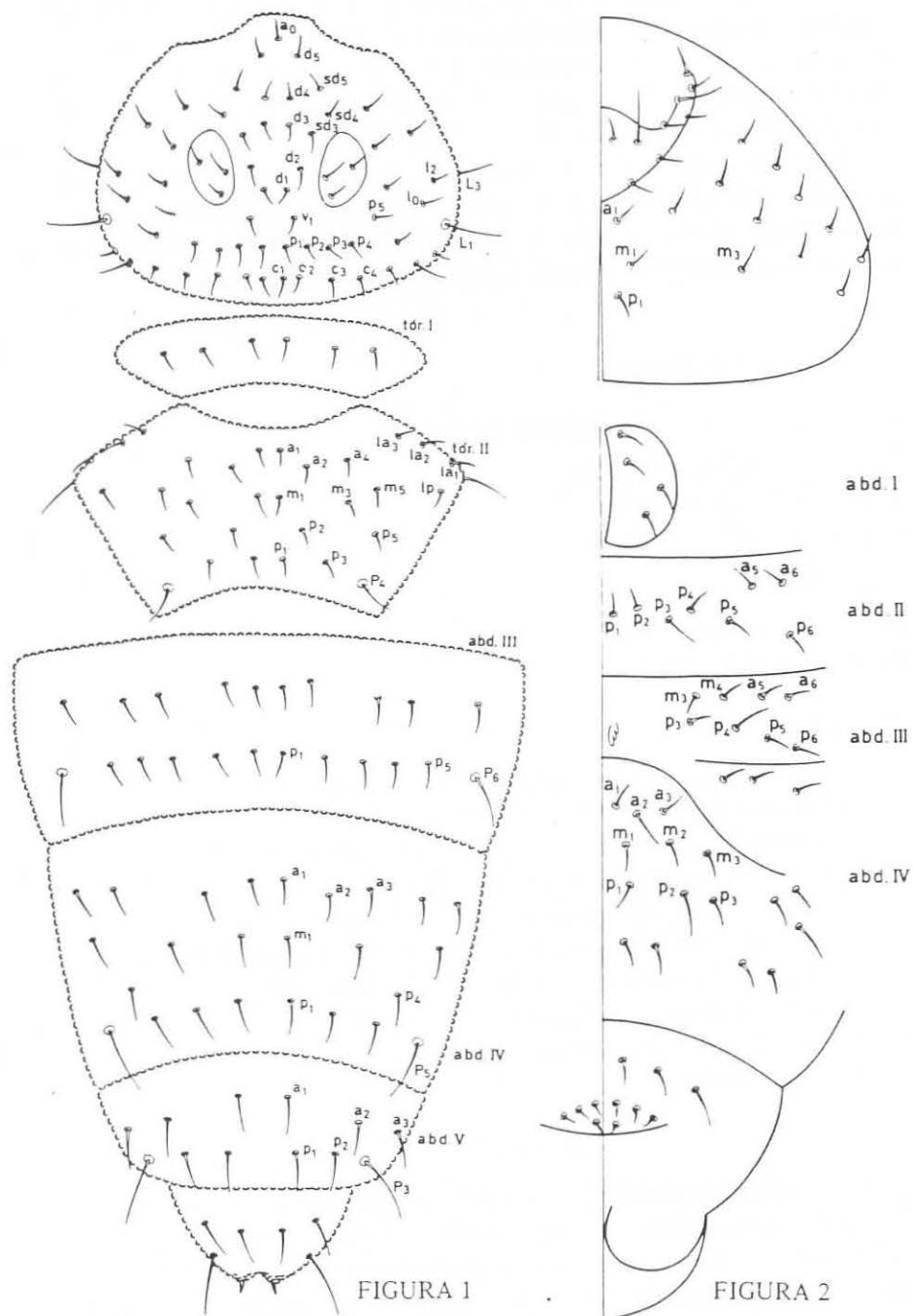


FIGURA 1. Quetotaxia dorsal da cabeça, dos tergitos torácicos I-II e dos tergitos abdominais III-VI de *Xenylla* sp. FIGURA 2. Quetotaxia ventral da cabeça e dos esternitos abdominais I-IV de *Xenylla* sp.

Para a construção da árvore genealógica (fig. 3) apoiámo-nos no quadro I, começando pelas espécies mais primitivas, cujo índice de evolução é mais baixo, passando depois pelas espécies de todos os graus evolutivos intermediários, até chegar às espécies mais evoluídas, que atingiram o décimo terceiro nível evolutivo.

Nos ramos do dendrograma, onde os *caracteres não-adaptativos derivados* estão inscritos pela letra do alfabeto que lhes corresponde, mencionada acima, marcámos igualmente de maneira abreviada os *caracteres adaptativos derivados*, cuja explicação é a seguinte:

*Olhos:*

4 + 4 = 4 + 4 olhos

*Pêlos sublobais do lobo externo da maxila:*

2. p. sl. = 2 pêlos sublobais

1 p. sl. = 1 pêlo sublobal

0 p. sl. = 0 pêlos sublobais

*Tenaculum:*

II = 2 + 2 dentes

III = tenaculum ausente

*Mucrodens:*

2 = mucrão separado da dens que tem 1 seda.

3 = mucrão fundido com a dens que tem 1-2 sedas, sendo os mucrodentes muito mais compridos que a unha III: a relação entre o comprimento da unha III e o comprimento dos mucrodentes está compreendida entre 33% (*X. maritima*) e 75%.

4 = mucrão fundido com a dens que tem em geral 1 seda, por vezes 2 sedas, sendo os mucrodentes tão compridos, um pouco mais compridos ou mais curtos que a unha III.

5 = mucrão ausente e a dens tem 1-2 sedas.

6 = furca ausente.

## RESULTADOS

As afinidades genealógicas entre as espécies e as subespécies, traduzidas pela árvore genealógica (fig. 3), coincidem quase inteiramente com as do nosso dendrograma anterior (Gama, 1980), com excepção da posição evolutiva de *X. gisini*, que consideramos presentemente pertencendo ao grupo *stachi* e em que as suas diversas populações geográficas apresentam uma certa variabilidade.

[illegible]

Este dendrograma, que compreende um maior número de espécies que o precedente, mostra igualmente que a anagénesse manifesta um certo paralelismo com a cladogénese em várias linhas evolutivas.

Com efeito, as espécies que atingiram os níveis cládicos mais elevados apresentam também geralmente caracteres adaptativos derivados.

Parece que a evolução adaptativa das *Xenylla* se processou pela redução progressiva dos mucrodentes, do tenáculo e por vezes do número de olhos, enquanto que a evolução cladogenética devia ter tido lugar principalmente pelo desaparecimento de certas sedas, mas também pelo alongamento das sedas cefálicas  $L_1$  ou  $L_3$  e pela mudança de posição das sedas  $a_2$  e ou  $p_2$  dos tergitos torácicos II-III.

No que se refere ao número de pêlos sublobais do lobo externo da maxila, Fjelleberg descobriu que as espécies mais primitivas têm 3 pêlos, nas espécies mais evoluídas este pêlo está ausente e as espécies que ocupam uma posição evolutiva intermediária apresentam 1 ou 2 pêlos sublobais (fig. 3).

#### AGRADECIMIENTOS

Este trabalho foi elaborado com o apoio financeiro do Instituto Nacional de Investigação Científica no âmbito do Centro de Sistemática e Ecologia da Universidade de Coimbra.

## BIBLIOGRAFIA

- FJELLBERTG, A. (1984). Maxillary structures in Hypogastruridae (*Collembola*). Annales de la Société Royale Zoologique de Belgique, **114**(1): 89-99.
- GAMA, M. M. da (1969). Notes taxonomiques et lignées généalogiques de quarante deux espèces et sous-espèces du genre *Xenylla*. III. Memórias e Estudos do Museu Zoológico da Universidade de Coimbra, **308**: 1-61.
- GAMA, M. M. da (1971). Application de la méthode de la "systématique idéale" à quelques espèces du genre *Xenylla*. V. Revue d'Écologie et Biologie du Sol, **8**(1): 189-193.
- GAMA, M. M. da (1980). Aperçu évolutif d'une septantaine d'espèces et sous-espèces de *Xenylla* provenant de tous les continents. Proceedings of the First International Seminary on Apterygota, Siena, 1978, 53-58.
- GAMA, M. M. da (1984). Phylogénie des espèces européennes de *Pseudosinella* (*Collembola: Entomobryidae*). Annales de la Société Royale Zoologique de Belgique, **114** (1): 59-70.
- GISIN, H. (1967). La systématique idéale. Zeitschrift für Zoologie systematische Evolutionsforschung, **5**: 111-128.
- GISIN, H. (1967a). Espèces nouvelles et lignées évolutives de *Pseudosinella* endogés. Memórias e Estudos do Museu Zoológico da Universidade de Coimbra, **301**: 1-21.

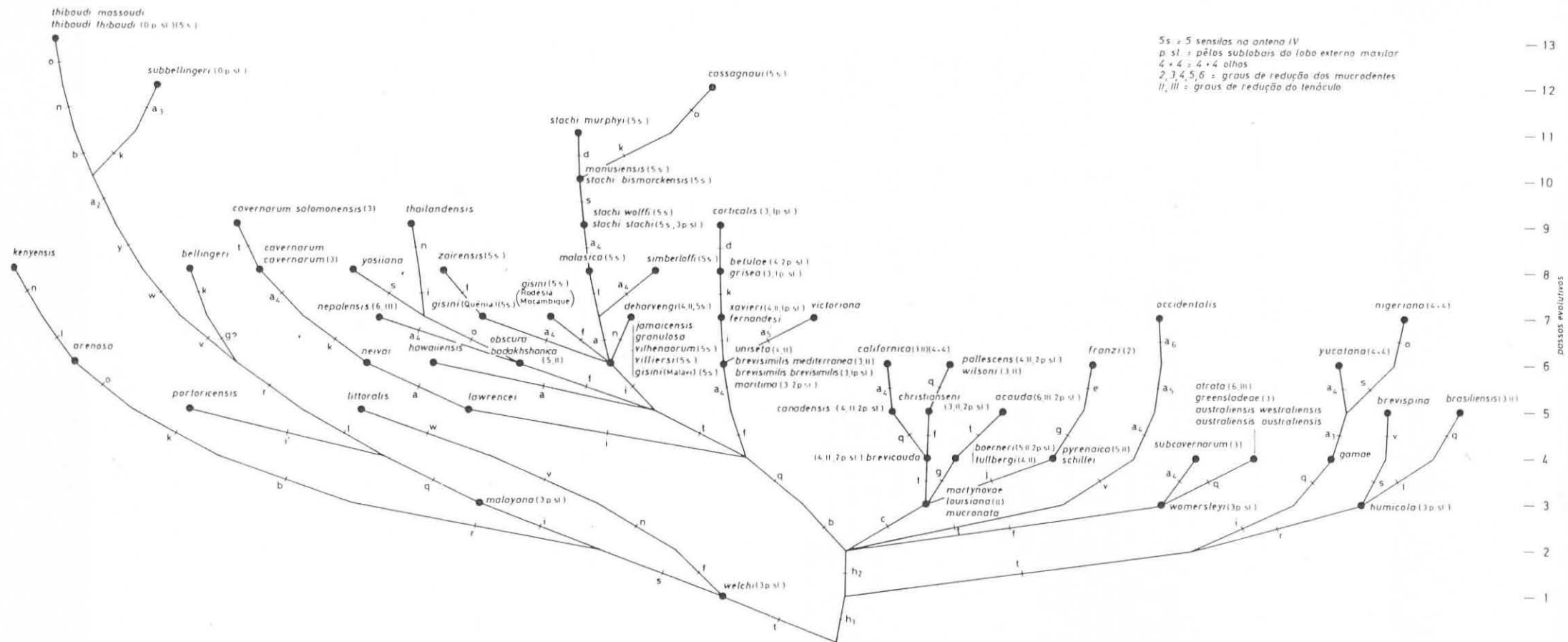


FIGURA 3. Dendrograma das espécies de *Xenylla* à escala mundial.